

Наукові напрямки  
співробітників кафедри фізичної  
хімії

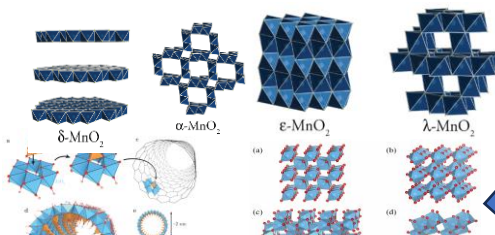
В.о. зав кафедри  
Сокольський Г.В.

**Д/р 0117U007592 «Фізико-хімічні основи одержання, функціональності та використання багатокomпонентних нанодисперсних систем та застосування добавок у харчових та косметичних продуктах»**

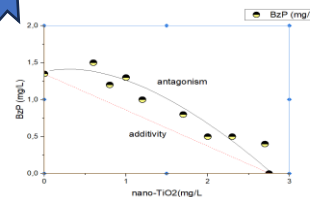
# Д/р 0117U007592 «Фізико-хімічні основи одержання, функціональності та використання багатокомпонентних нанодисперсних систем та застосування добавок у харчових та косметичних продуктах»

Сокольський Георгій Володимирович

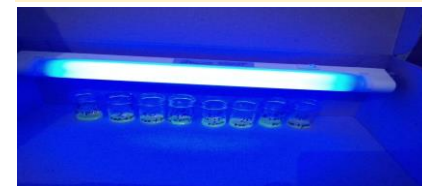
Фото(електро)каталіз на оксидних композитах перехідних металів з алюмосилкатними нанотрубками: OER&HER, деградація органічних матеріалів



Фотокаталітична токсичність УФ-фільтрів на основі діоксиду титану



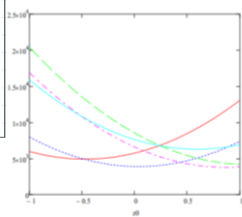
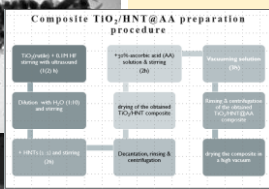
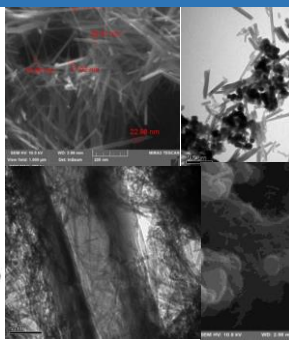
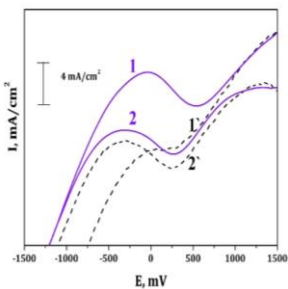
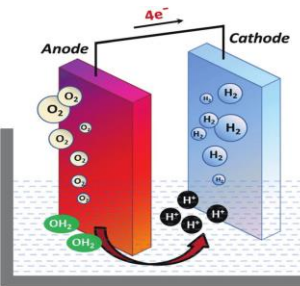
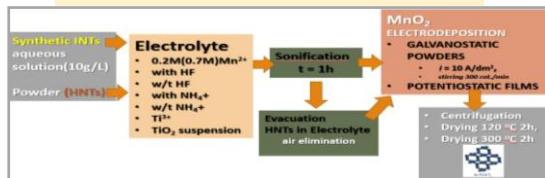
Фотохімічний крос-лінкінг колагену з рибофлавіном, а також з координаційними сполуками з L-лізиновим лігандом



Функціональні матеріали на основі оксидів мангану, титану, АСНТ, імоголіту, допованих оксидних сполук

Рис. Залежність (nano-TiO<sub>2</sub> – BzP) при часі експерименту 48 год

Емульсії Пікерінга та АСНТ з контрольованим вивільненням БАР



## References

1. I. Kovinchuk et al. *Polymer Degradation and Stability*, 2023. — 210. — P. 110295.
2. M. Zahornyi, G. Sokolsky. *Nanosized Titania Composites for Reinforcement of Photocatalysis and Photoelectrocatalysis*. Monograph. Cambridge Scholars Publishing, 275 p.
3. L. Zudina et al. // *Materials Today: Proceedings*, 2022. — Volume 62(15), 2022, P. 7759-7766
4. Georgii V. Sokolsky et al. // *Journal of Chemistry and Technologies*, 2019, 27(2), C.1 — 11.

**к.т.н., доц. ВОРОБЙОВА В.І.**

**Створення металічних та композитних наноматеріалів з  
використанням екологічних іонних рідин нового  
покоління**

# Екологічні іонні рідини нового покоління для отримання металічних та композитних наноматеріалів

Традиційні розчинники

Іонні рідини

Леткість/  
токсичність

«Зелені»/нетоксичні

Необхідність  
очищення

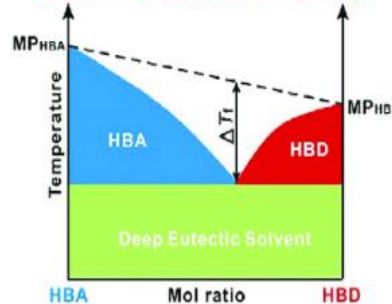
Низька вартість/  
простота синтезу

Біосумісні/  
біодеградабельні

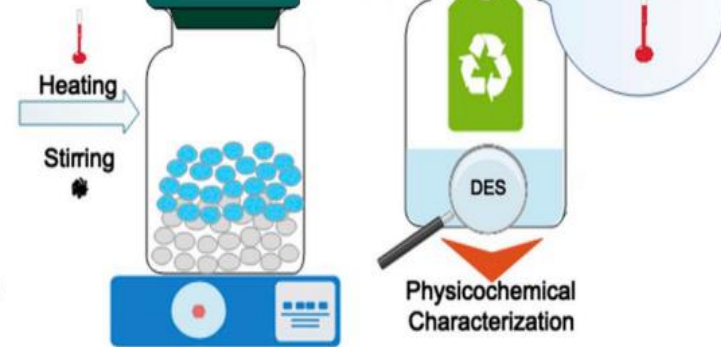
Донор водневого зв'язку  
Hydrogen bond donors (HBDs)



Hydrogen bond acceptors (HBAs)  
Акцептор водневого зв'язку



Формування DES



Низькотемпературні  
еутектичні розчинники

Реакційні середовища для  
синтезу наноматеріалів

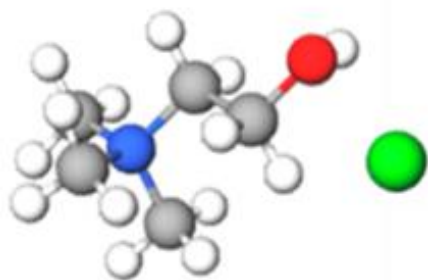
Електроліти для  
електроосадження  
покриттів

Молочна кислота – Пролін (1:2)  
Молочна кислота – Бетаїн (1:2)

Холін хлорид – Молочна кислота  
(1:3)

# Квантово-хімічні розрахунки реакційної здатності складових для синтезу евтектичних розчинників

Компонент НВА типу  
(акцептор водневого зв'язку)



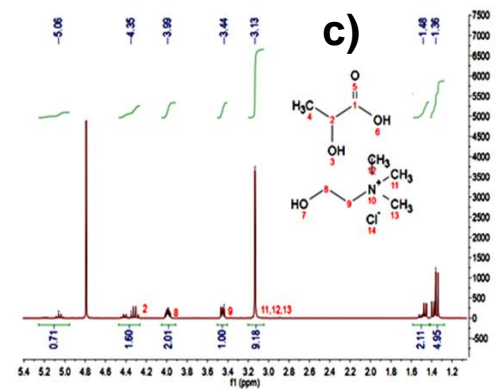
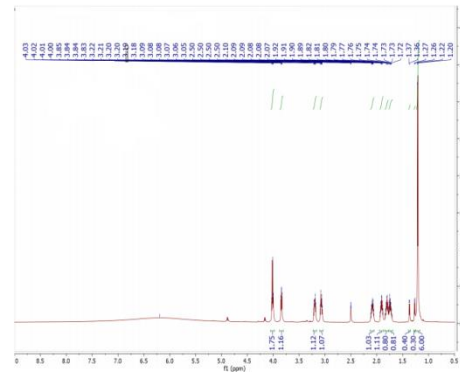
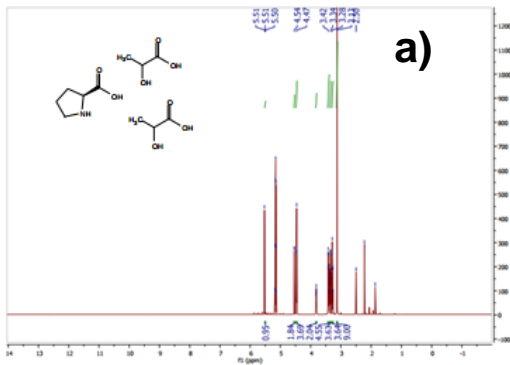
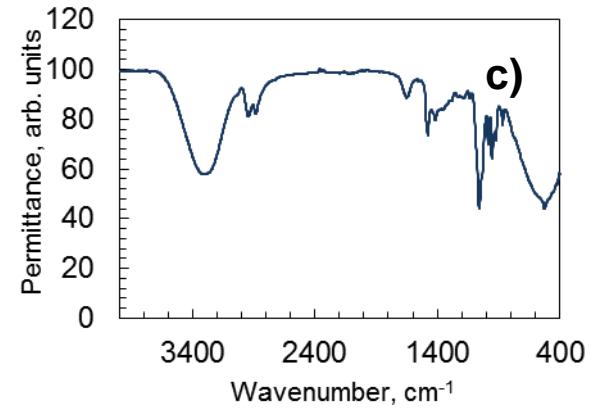
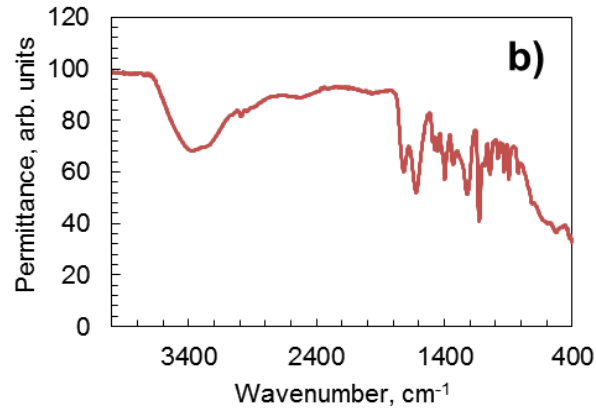
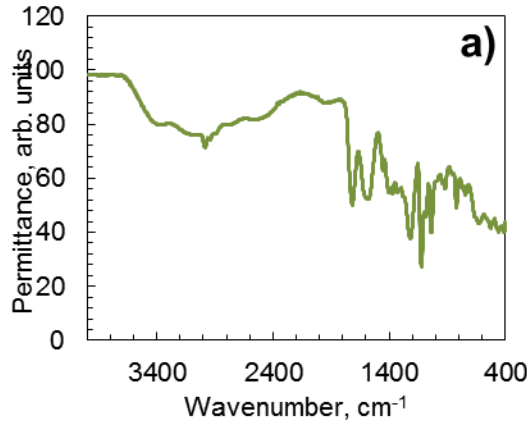
Salt – choline chloride



Компоненти НВД типу  
(донори водневого зв'язку)

Спюлука	Молекула	ВЗМО	НВМО	3D – електростатичний потенціал (3D –MEP)	
Молодча кислота					
Щавлева кислота					
Малонова кислота					
1,2-пропандіол					
Сечовина					
Уксусна кислота					

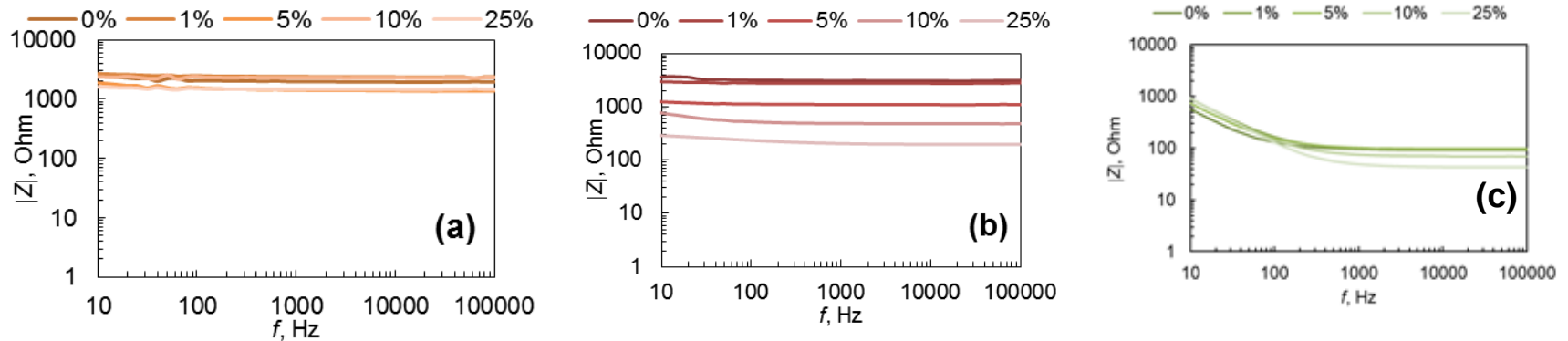
# Синтез низькотемпературних евтектичних розчинників (НЕР)



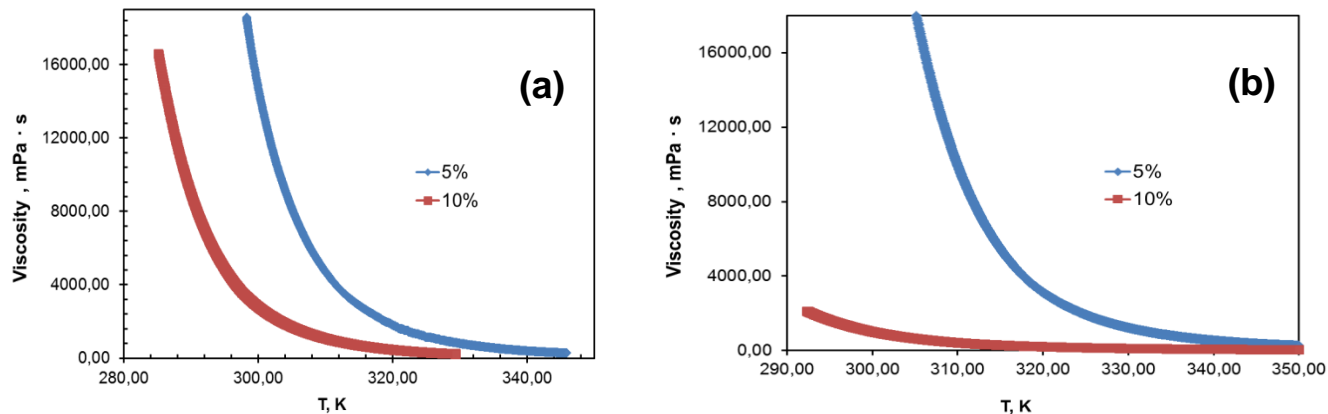
ІЧ та <sup>1</sup>H ЯМР спектри НЕР: (а) Молочна кислота – пролін; (б) Молочна кислота – Бетаїн  
Молочна кислота – холін хлорид.

# Фізико – хімічні властивості низькотемпературних евтектичних розчинників

## Зміна електропровідності та в'язкості НЕР від вмісту води



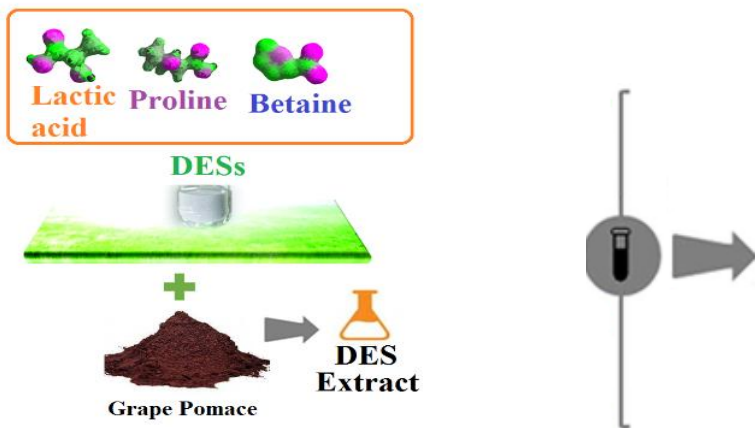
Вплив вмісту води на електричний опір НЕР: (а) Молочна кислота – пролін; (b) Молочна кислота – Бетаїн; с) Молочна кислота – холін хлорид.



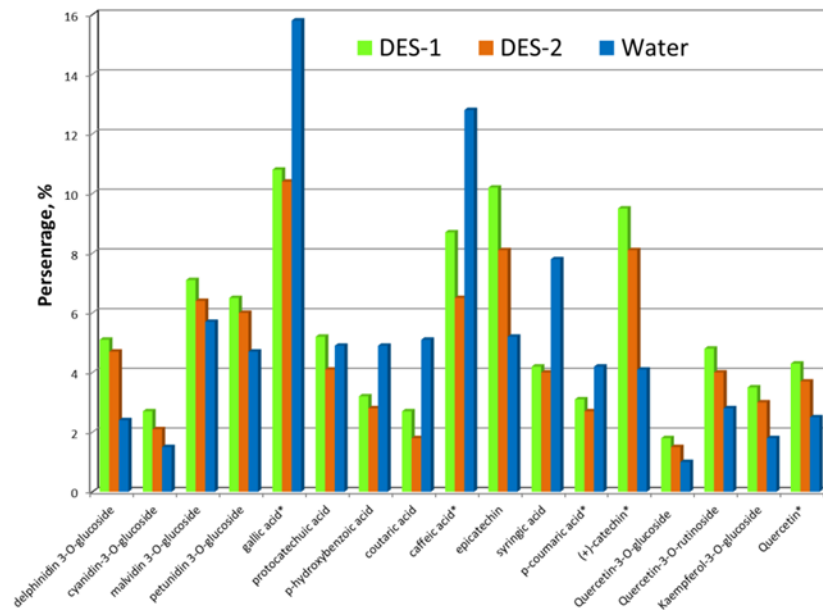
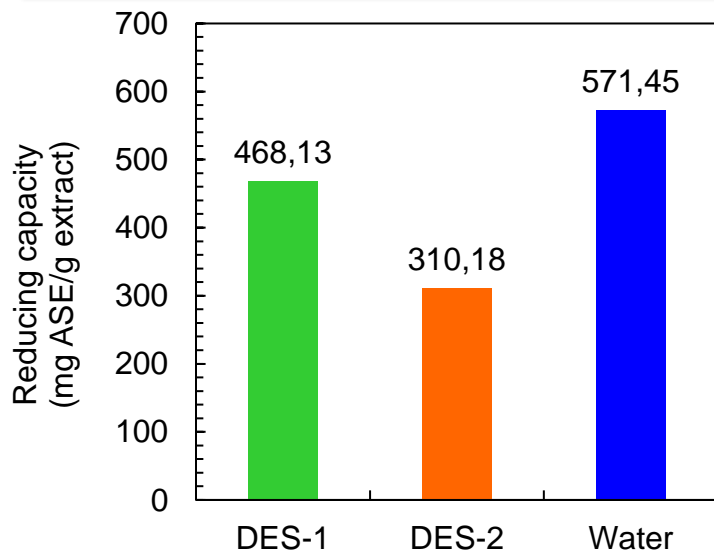
Вплив вмісту води на в'язкість НЕР: (а) Молочна кислота – пролін; (b) Молочна кислота – Бетаїн; с) Молочна кислота – холін хлорид.



# Рідинна хроматографія компонентного складу екстракту переробки/відходів рослинної сировини отриманих НЕР



**ВІДНОВЛЮВАЛЬНА ЗДАТНІСТЬ ЕКСТРАКТІВ НА ОСНОВІ НЕР**

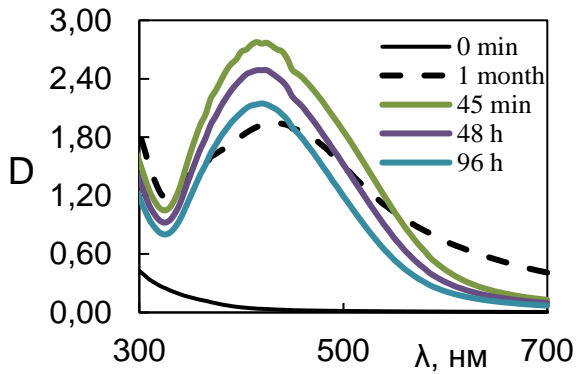


Екстракт на основі НЕР	Загальний вміст фенольних сполук гальної кислоти/г екстракту.	Загальний вміст флавоноїдів, кверцетину/г екстракту
НЕР- 1 (DES-1)	92.15±1.75	51.36±1.20
НЕР- 2 (DES-2)	80.75±1.75	47.41±1.20
Water	82.10±1.75	19.11±1.21

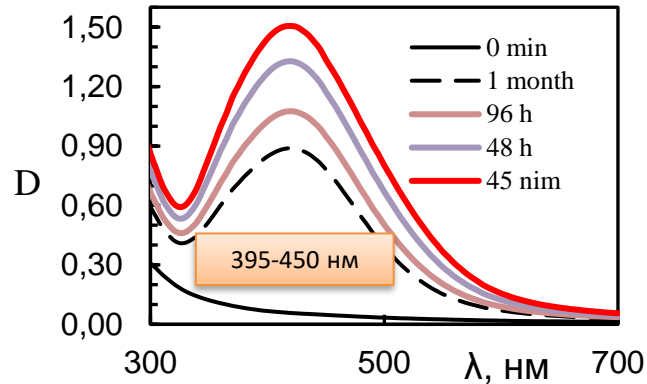
# Ідентифікація та характеристика синтезованих Ag-NP

*Спектр поглинання колоїдних розчинів наночастинок срібла*

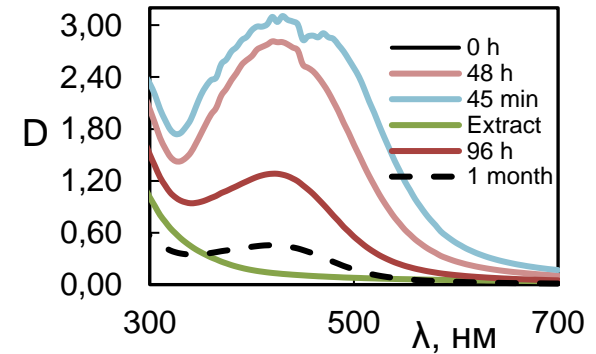
HEP-1 - AgNPs



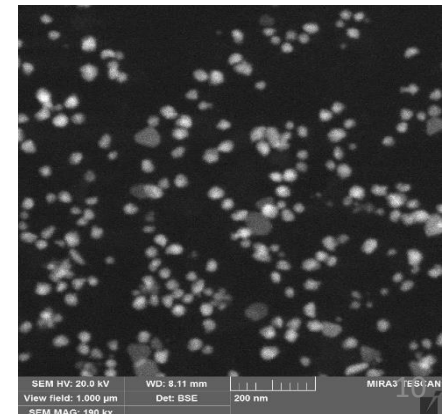
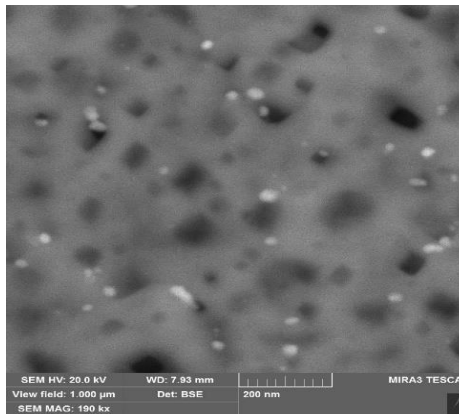
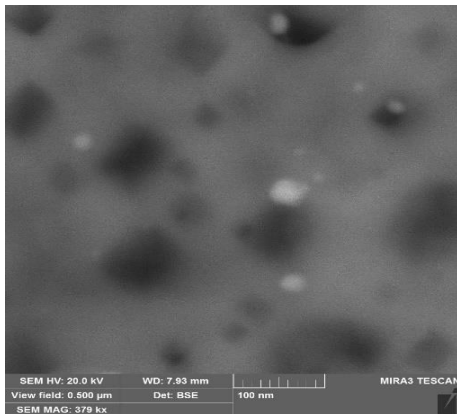
HEP-2- AgNPs



Водний екстракт - AgNPs



**Морфології НЧ Ag методом скануючої електронної мікроскопії**

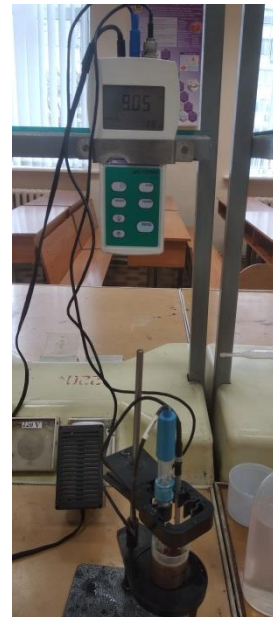
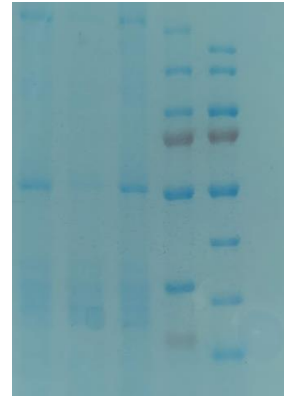


**к.б.н., доц. ХРОКАЛО Л.А.**

**Мікробіологічні дослідження біологічних систем,  
складових косметичних засобів та консервантів**

# Дослідження слизу равлика *Helix aspersa* з перспективою його застосування в косметичних і фармацевтичних продуктах

- Склад та фізико-хімічні властивості (вміст води, білків та глікопротеїдів, елементний склад золи) DOI: [10.1016/j.matpr.2022.02.217](https://doi.org/10.1016/j.matpr.2022.02.217)
- Антибактеріальні та антигрибкові властивості нативного та ліофілизованого слизу
- Оптимізація процесу ліофілізації та підбір консервантів [http://journals.khnu.km.ua/vestnik/wp-content/uploads/2023/07/vknu-ts-2023-n3321-229-233. pdf](http://journals.khnu.km.ua/vestnik/wp-content/uploads/2023/07/vknu-ts-2023-n3321-229-233.pdf)



# Лабораторія біотестування органічних та неорганічних речовин

Мікробний репозитарій кафедри Фізичної хімії ХТФ КПІ ім. Ігоря Сікорського

## Бактерії

*Escherichia coli*

*Bacillus subtilis*

*Serratia marcescens*

*Micrococcus luteus*

## Гриби

*Aspergillus sclerotium*

*Aspergillus niveus*

*Aspergillus versicolor*

*Penicillium chrysogenum*

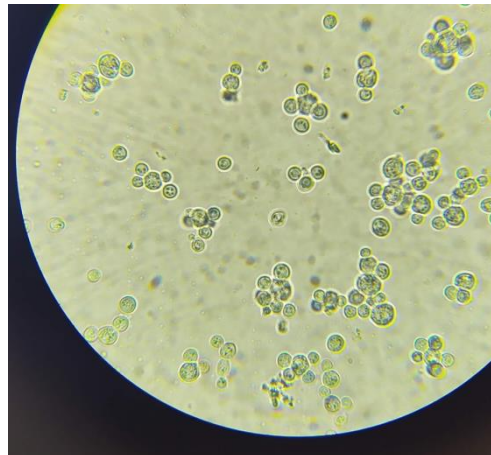
*Mucor hiemalis*

*Candida albicans*

*Saccharomyces cerevisiae*

## АКТИНОМИЦЕТЕС

*Streptomyces viridogenes*

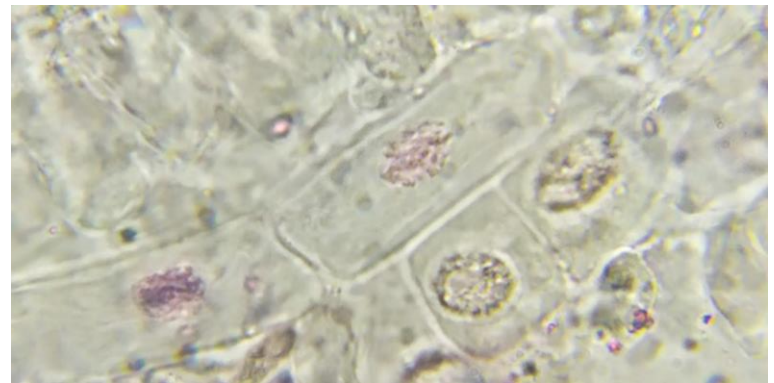
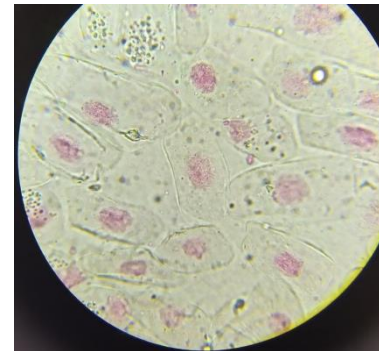




# **Тестування цито- та генотоксичності органічних та неорганічних сполук стандартним методом *Allium* сера**

Розрахунок мітотичного індексу та виявлення хромосомних  
аберацій

<https://doi.org/10.1007/s12668-023-01211-0>



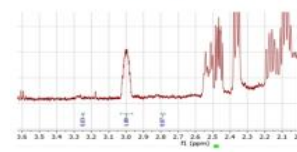
# Біокаталіз в органічному синтезі в рамках співпраці з університетом Білефельда (Німеччина)

Дослідження синтезу органічних сполук за використання ферментів та цілюноклітинних каталізаторів, одержаних з генетично модифікованих мікроорганізмів

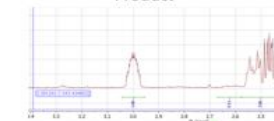


## NMR analysis

3 hours reaction conducted



Product



Compound and formula	Ppm NMR-scale	Number of H
Substrate Linolenic acid <chem>C=CCCC=CCCC=CCCC(=O)O</chem> n: linolenic acid (C18:3n-3)	2.8 ppm	4
Product 12-OPDA <chem>C=CCCC=CCCC(=O)O</chem>	3.0 ppm	1
By product 9-ketol <chem>C=CCCC(=O)CCCC(=O)O</chem>	3.25	2

Formula for calculation of Product conversion

$$\frac{I(12-OPDA)}{I(12-OPDA) + I(LA)/n + I(9-ketol)/2}$$

**99 % conversion**  
**0.1896 g of product**

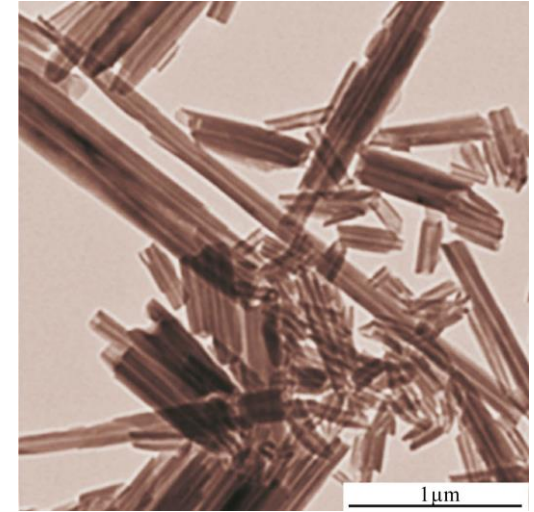
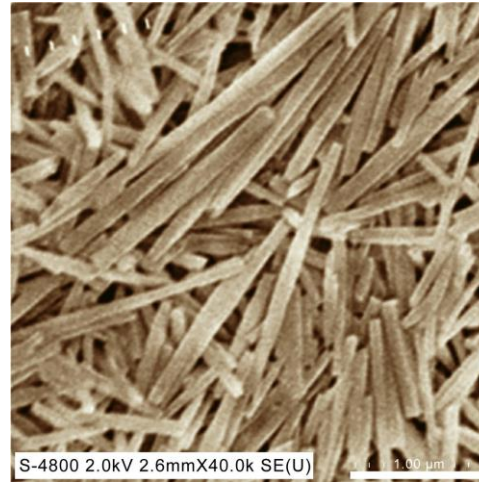
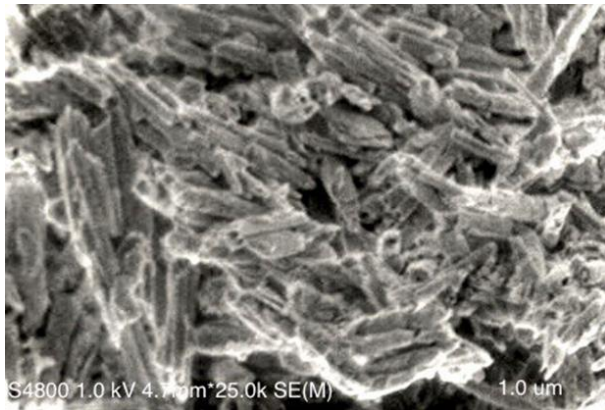


**д.т.н., проф. ЧИГИРИНЕЦЬ О.Е.**

**Адресна доставки АФІ та біологічно активних речовин  
у складі наноносіїв**



# Дослідження фотостабільності та процесу вивільнення $\alpha$ -ліпоєвої кислоти у складі галуазиту



SEM та TEM фото зразків галуазиту

Галузатні нанотрубки у складі таблеток

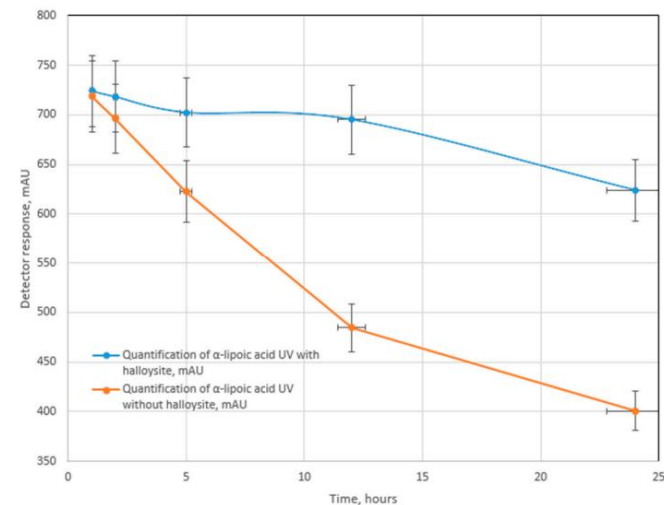
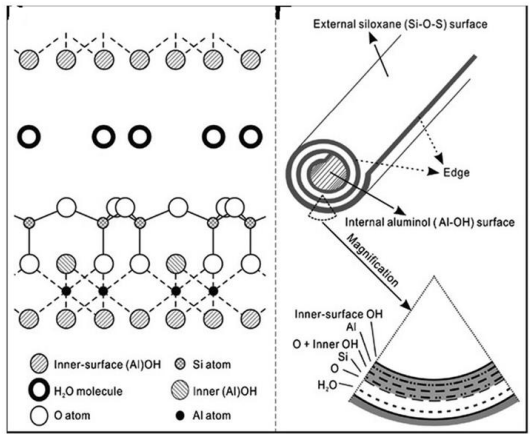
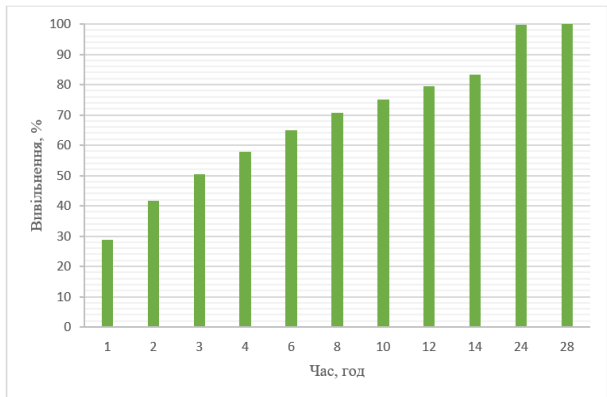


Figure 4. Degradation of  $\alpha$ -lipoic acid under the influence of UV radiation.

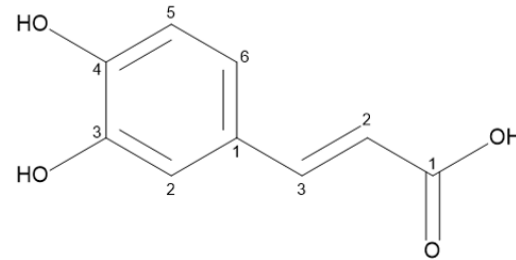
# Дослідження процесу вивільнення кавової кислоти з галуазитних нанотрубок



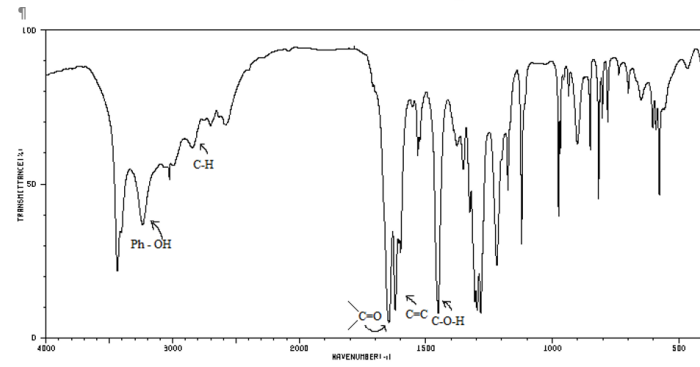
Структура галуазиту



Вивільнення кавової кислоти з модифікованого галуазиту



Кавова кислота



ІЧ спектр

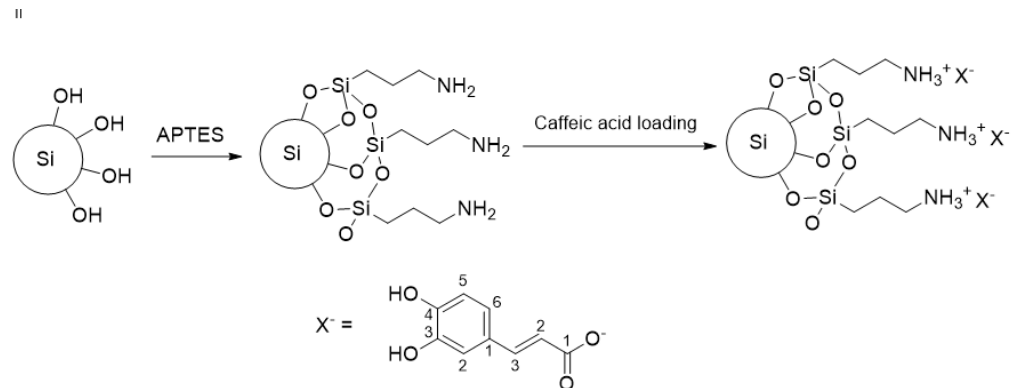
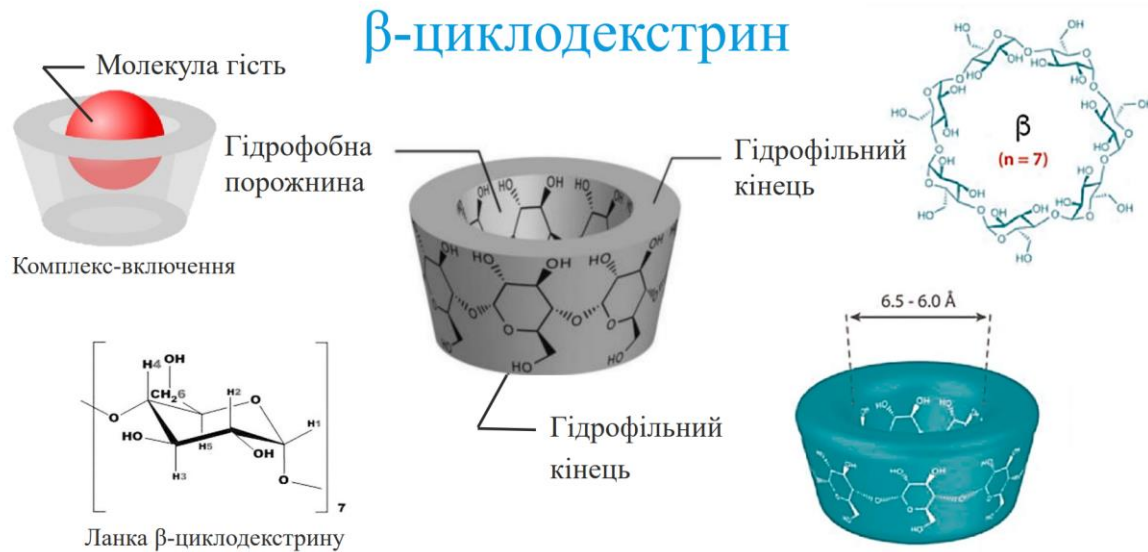
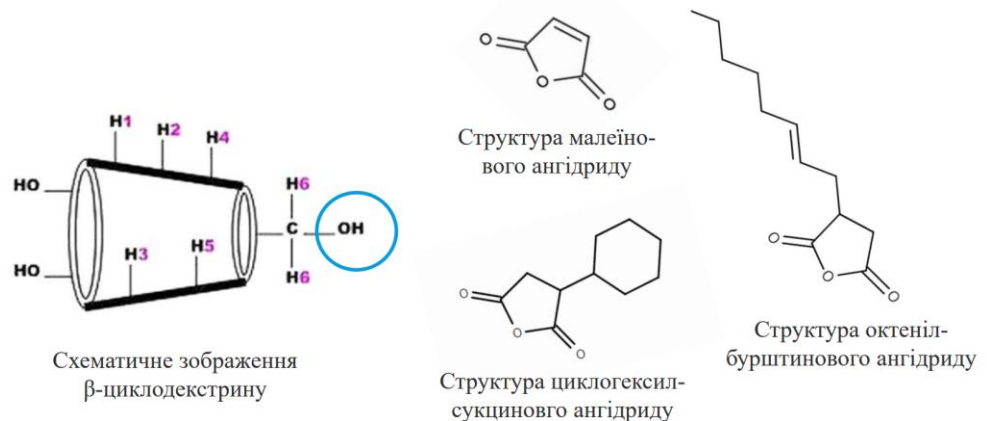


Схема модифікації поверхні галуазиту силанами

# Дослідження ферулової кислоти у складі циклодекстрину

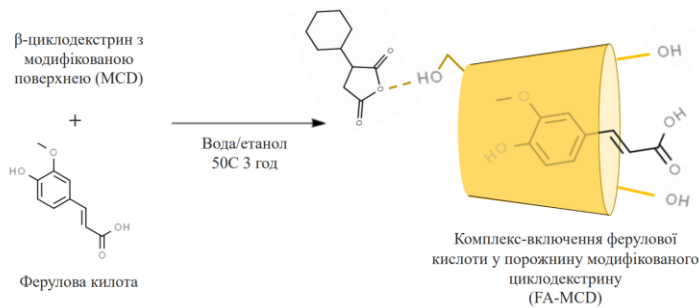


## Модифікація β-циклодекстрину

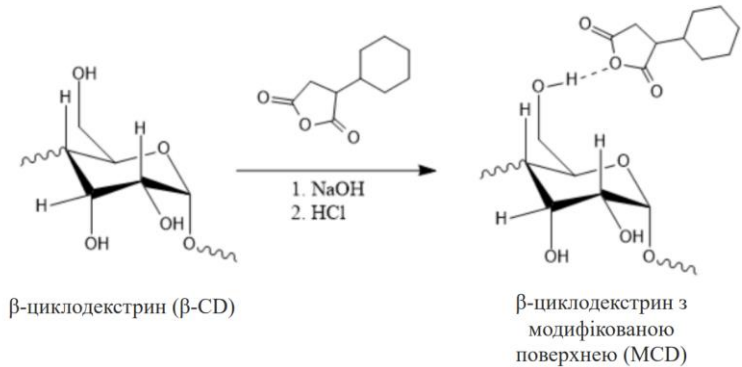


# Модифікація циклодекстрину

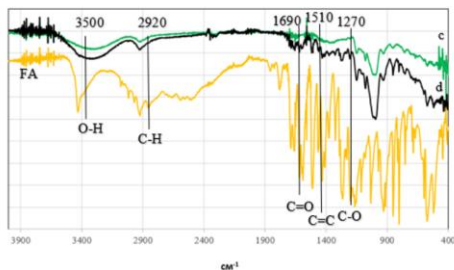
## Комплекс-включення ферулової кислоти



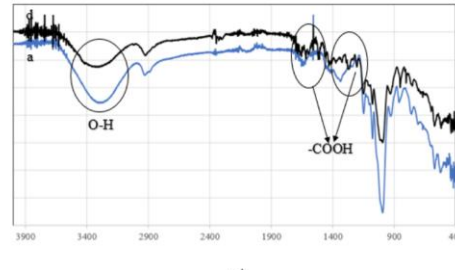
## Схема модифікації β-циклодекстрину



## Результати інфрачервоної спектроскопії (FT-IR)

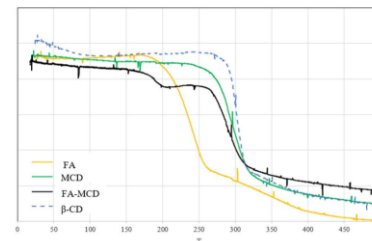


Графіки для ферулової кислоти (FA), модифікованого сполуки β-циклодекстрину (MCD) (c) та комплексу-включення ферулової кислоти у порожнину модифікованого β-циклодекстрину (FA-MCD) (d).

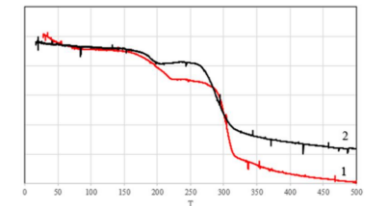


Графіки для β-циклодекстрину (β-CD) (a) та комплексу-включення ферулової кислоти у порожнину модифікованого β-циклодекстрину (FA-MCD) (d).

## Аналіз термогравіметричних кривих (TGA)



Порівняння термогравіметричних кривих: ферулової кислоти (FA), β-CD, модифікованого β-циклодекстрину (MCD), комплексу включення ферулової кислоти у модифікований циклодекстрин (FA-MCD).



Порівняння термогравіметричних кривих (TGA) фізичної суміші (1) та комплексу-включення ферулової кислоти у порожнину модифікованого β-циклодекстрину (2).